

**QUÍMICA DO KATUNGITO DE AMORINÓPOLIS – GOIÁS:  
CONTRIBUIÇÃO AO ESTUDO DO MAGMATISMO KAMAFUGÍTICO**

**J.C.M. Danni, J.C. Gaspar**

**Departamento de Mineralogia e Petrologia, Instituto de Geociências, Universidade de Brasília, Brasília, DF**

**Recebido em: 01/94. Aprovado para publicação em: 05/94**

## ABSTRACT

The Amorinópolis katungite forms a 100 meter wide pipe that intruded the sandstones of the Ponta Grossa Formation in the Late Cretaceous. It is a dark grey, porphyritic rock, composed of olivine phenocrysts (18 vol%) in a matrix of melilita (25 vol%), leucite (40 vol%), spinel (8 vol%), and perovskite (3 vol%). Interstitial phases are diopside, nepheline, phlogopite, and apatite. Secondary minerals include natrolite, serpentine and magnetite. Olivine is zoned with  $Fo_{84-85}$  cores and  $Fo_{82-83}$  rims. Spinel occurs included in olivine or in the matrix and is mainly composed of magnetite and ulvöspinel end members. The behaviour of end members in the spinel is as follows:  $Fe_3O_4$  increases, while  $FeCr_2O_4$  (and/or  $MgCr_2O_4$ ) decreases in the stages previous and simultaneous to that of olivine crystallization.  $Fe_2TiO_4$  increases, while  $MgAl_2O_4$  decreases steadily during all the spinel crystallization. Melilita presents an average composition of  $Ak_{58} - Fe-Ak_{15} - Na-Mel_{28}$ . Diopside contains between 4 and 5 wt%  $TiO_2$ , 1.8 and 3.3 wt%  $Al_2O_3$ , and around 1.5 wt%  $Na_2O$ . Leucite is almost stoichiometric with  $Fe_2O_3 = 0.73$  wt%,  $Na_2O = 0.35$  wt%, and  $BaO = 0.26$  wt%. Nepheline presents up to 30% of the kalsilite end member indicating high temperature magmatic crystallization. Phlogopite is rich in tetraferriphlogopite, reaching up to 46% of this end member. The whole rock analytical results show high concentrations of  $TiO_2$  (6 wt%),  $MgO$  (15 wt%),  $FeO_t$  (14.5 wt%),  $CaO$  (13 wt%), and  $K_2O$  (4 wt%), and low values of  $Al_2O_3$  (6.5 wt%), with  $K_2O/Na_2O$  around 1.3. It is enriched in LREE with  $(La/Lu)_n = 39$ .

## RESUMO

O katungito de Amorinópolis (Cretáceo Superior) forma um conduto de 100 metros de diâmetro, intrusivo nos arenitos da Formação Ponta Grossa. Trata-se de uma rocha cinza escura, porfirítica, composta de fenocristais de olivina (18% vol.) em uma matriz de melilita (25% vol.), leucita (40% vol.), espinélio (8% vol.) e perovskita (3% vol.). As fases intersticiais da matriz são diopsídio, nefelina, flogopita e apatita. Os minerais secundários presentes são natrolita, serpentina e magnetita.

A olivina é zonada com núcleo  $Fo_{84-85}$  e bordas  $Fo_{82-83}$ . Espinélio ocorre incluso na olivina e na matriz e é composto, principalmente, pelos componentes magnetita e ulvoespínélio. O comportamento dos membros finais no espinélio é o seguinte:  $Fe_3O_4$  aumenta e  $FeCr_2O_4$  (e/ou  $MgCr_2O_4$ ) diminui no estádio anterior e simultâneo àquele correspondente à cristalização da olivina;  $Fe_2TiO_4$  aumenta, enquanto  $MgAl_2O_4$  decresce durante toda a cristalização do espinélio. A melilita apresenta uma composição média de  $Ak_{58} - Fe-Ak_{15} - Na-Mel_{28}$ . Diopsídio contém entre 4 e 5%  $TiO_2$ , 1,8 e 3,3% de  $Al_2O_3$  e em torno de 1,5% de  $Na_2O$ . A leucita é quase estequiométrica, com  $Fe_2O_3 = 0,73\%$ ,  $Na_2O = 0,35\%$  e  $BaO = 0,26\%$ . Nefelina apresenta até 30% de kalsilite, indicando cristalização magmática de alta temperatura. A flogopita é rica em tetraferriphlogopita, atingindo até 46% deste membro final. Os resultados analíticos de rocha total mostram altas concentrações de  $TiO_2$  (6%),  $MgO$  (15%),  $FeO_t$  (14,5%),  $CaO$  (13%) e  $K_2O$  (4%), e baixos valores de  $Al_2O_3$  (6,5%) com  $K_2O/Na_2O$  em torno de 1,3. O katungito é enriquecido em ETR leves com  $(La/Lu)_n = 39$ .

## INTRODUÇÃO

Rochas vulcânicas formadas pela associação de olivina, leucita e melilita (katungito) são características de províncias alcalinas ultrapotássicas fortemente insaturadas, que ocorrem nos domínios de "rifts" continentais. Constituem uma associação típica das séries vulcânicas kamafugíticas, as quais se associam no tempo-espacó com magmatismo nefelinístico e carbonatítico.

Na província do sul de Goiás, ao lon-

go da zona tectono-magmática de Rio Verde-Iporá, um exemplo deste tipo de associação ocorre próximo à cidade de Amorinópolis (Danni, 1985). Face à excepcional preservação dos minerais que constituem o katungito de Amorinópolis e a importância que este tipo de magmatismo parece representar na evolução das províncias alcalinas de Goiás e Minas Gerais (p.ex. Triângulo Mineiro), desenvolveu-se o presente estudo

com ênfase na determinação das características químicas de seus minerais. A caracterização desses minerais torna-se importante, pois as feições destas rochas, que podem ser claramente classificadas como pertencentes à série kamafugítica, assumem um papel de paradigma para a discussão sobre a filiação das rochas, até recentemente, tidas como de filiação kimberlítica, na região do Triângulo Mineiro (Danni et al., 1991; Meyer & Svisero, 1991; Meyer et al., 1991).

## ASPECTOS GEOLÓGICOS

A ocorrência de Amorinópolis corresponde a uma intrusão cilíndrica, subvertical, com cerca de 100 metros de diâmetro, instalada em arenitos na Formação Ponta Grossa. Está situada à cerca de 10 km à sul de Amorinópolis, nas proximidades da intrusão anelar da Fazenda Bebedouro (Danni et al., 1991).

Uma recente determinação de idade pelo método K/Ar realizada sobre um olivina-leucita mela-nefelinito, integrante da intrusão anelar vizinha ao conduto de katungito, forneceu uma idade de  $72,4 \pm 1,3$  milhões de anos (determinação realizada por M. Cantagrel, Clermont Ferrand, França), o que posiciona a época deste magmatismo no Cretáceo Superior, a exemplo dos demais focos magmáticos da província (Danni, 1974; Barbour, 1976; Hasui et al., 1971).

## CARACTERÍSTICAS PETROGRÁFICAS

O katungito de Amorinópolis é uma rocha de cor cinza-escura, porfirítica, composta por cerca de 18% (vol.) de fenocristais de olivina, implantados em matriz microgranular panidiomórfica, formada por melilita (25%), leucita (40%), espinélio (8%) e perovskita (3%). Como fases intersticiais, ocorrem diopsídio, nefelina, flogopita e alguma apatita, que, em conjunto, perfazem cerca de 5%. Natrolita, serpentinas e magnetita constituem os minerais originados por alteração deutérica.

A ordem da cristalização é sempre constante, sendo caracterizada: a) por inclusões de Cr-espinélio em fenocristais de olivina, os quais representam a etapa inicial da cristalização; b) associação de melilita e leucita; c) espinélio, perovskita e diopsídio; d) fases residuais ricas em P, H<sub>2</sub>O e Na como nefelina, flogopita e apa-

tita, nitidamente intersticiais ou reacionais.

A sucessão da cristalização dos minerais primários corresponde à evolução prevista no sistema Fo-Di-Le-Ak (Gupta, 1980), para baixas pressões, a partir de líquidos magnesianos situados no campo da olivina. Assim, o fracionamento precoce da olivina implica na evolução dos líquidos ao longo da curva univariante Fo-Ak-Le, até atingir o mínimo do sistema, quando ocorre a formação tardia de diopsídio.

## QUÍMICA MINERAL

As principais características composticionais dos minerais que constituem o katungito são apresentadas e discutidas a seguir. As análises dos minerais foram realizadas com a microssonda eletrônica CAMECA SX50 da Universidade de Brasília, operada a 15 Kv e 20 nA, onde padrões naturais e sintéticos foram utilizados.

### Espinélio

Os espinélios ocorrem inclusos em fenocristais de olivina e na matriz. As suas composições são apresentadas na Tabela 1 e suas principais variações químicas mostradas nos diagramas da Figura 1. Observa-se que são especialmente ricos em Fe<sub>2</sub>O<sub>3</sub>, FeO e TiO<sub>2</sub> (Tabela 1), representando, principalmente, os membros finais magnetita e ulvoespinélio. Cr<sub>2</sub>O<sub>3</sub> é importante somente em alguns cristais inclusos nos fenocristais de olivina. O "trend" de variação química, apresentado pelos espinélios, mostra um enriquecimento de Fe<sup>+3</sup> e Ti, com o aumento da razão Fe<sup>+2</sup>/(Fe<sup>+2</sup> + Mg), enquanto Cr e Al diminuem (Fig. 1). No entanto, pode-se observar que o padrão de variação do Ti e do Al, apesar dos baixos teores de Al<sub>2</sub>O<sub>3</sub> (Tabela 1), são semelhantes entre si, mas opostos, mostrando uma variação quase linear em relação à razão Fe<sup>+2</sup>/(Fe<sup>+2</sup> + Mg). Por outro lado, a variação de Fe<sup>+3</sup> e Cr mostra uma forte inclinação da curva enquanto inclusos na olivina e uma inflexão entre 0,75 e 0,8 de Fe<sup>+2</sup>/(Fe<sup>+2</sup> + Mg), correspondente ao limite entre cristais inclusos e externos. Isto indica que, a partir deste momento, o aumento de Fe<sup>+2</sup> torna-se mais expressivo do que as outras variações (Fig. 1). Conclui-se, simplificando, que os membros finais dos espinélios comportam-se da seguinte forma:

1. magnetita (Fe<sub>3</sub>O<sub>4</sub>) aumenta, fortemente,

Tabela 1 – Composições dos espinélios.

	1 N E	1 B E	2 I	3 I	4 I	5 I	6 N I	6 B I	7 N E	7 B E	8 E	9 E	10 I
SiO <sub>2</sub>	0,03	0,07	0,11	0,06	0,07	0,07	0,05	0,07	0,07	0,07	0,29	0,25	0,04
TiO <sub>2</sub>	17,81	18,57	16,31	14,84	18,55	15,51	16,26	16,31	19,21	19,92	18,96	19,08	15,43
Al <sub>2</sub> O <sub>3</sub>	3,15	2,23	5,54	6,70	2,55	6,96	3,44	3,53	2,11	1,05	1,75	1,27	5,68
Cr <sub>2</sub> O <sub>3</sub>	1,38	0,68	7,94	9,96	0,70	10,91	4,32	3,50	0,63	0,40	0,62	0,47	8,73
Fe <sub>2</sub> O <sub>3</sub> <sup>1</sup>	33,58	32,71	27,57	26,49	32,26	23,84	33,44	33,18	31,74	30,26	31,47	31,11	27,67
FeO	37,07	39,29	32,66	32,30	40,27	31,86	34,81	35,34	41,52	43,35	42,11	40,46	32,33
MnO	0,42	0,74	0,15	0,14	0,77	0,15	0,50	0,43	0,79	0,83	0,99	0,71	0,34
MgO	7,00	5,44	9,43	8,82	5,10	9,40	7,56	7,17	4,68	3,51	3,94	4,86	8,81
CaO	0,07	0,34	0,03	0,01	0,02	0,06	0,06	0,01	0,08	0,07	0,25	0,15	0,05
Total	100,49	100,06	99,76	99,31	100,29	98,76	100,44	99,54	100,83	99,46	100,38	98,37	99,08

Normalização a 24 cátions													
Si	0,007	0,019	0,031	0,015	0,020	0,020	0,015	0,020	0,020	0,022	0,083	0,074	0,012
Ti	3,766	4,001	3,366	3,072	3,995	3,204	3,420	3,468	4,134	4,403	4,123	4,214	3,217
Al	1,043	0,753	1,792	2,172	0,860	2,253	1,134	1,178	0,712	0,364	0,597	0,441	1,857
Cr	0,306	0,153	1,723	2,168	0,158	2,370	0,955	0,784	0,142	0,092	0,143	0,109	1,913
Fe <sup>+3</sup>	7,105	7,053	5,691	5,486	6,952	4,929	7,040	7,062	6,837	6,693	6,849	6,874	5,772
Fe <sup>+2</sup>	8,717	9,413	7,494	7,434	9,644	7,321	8,144	8,358	9,941	10,657	10,187	9,936	7,495
Mn	0,101	0,179	0,035	0,033	0,187	0,036	0,119	0,104	0,193	0,207	0,243	0,177	0,080
Mg	2,935	2,324	3,858	3,617	2,178	3,851	3,153	3,022	1,996	1,539	1,698	2,126	3,640
Ca	0,020	0,103	0,010	0,003	0,005	0,016	0,019	0,004	0,025	0,023	0,078	0,049	0,014

1 - calculado pela estequiometria; N - núcleo; B - borda; I - inclusão em olivina; E - externo à olivina (matriz)

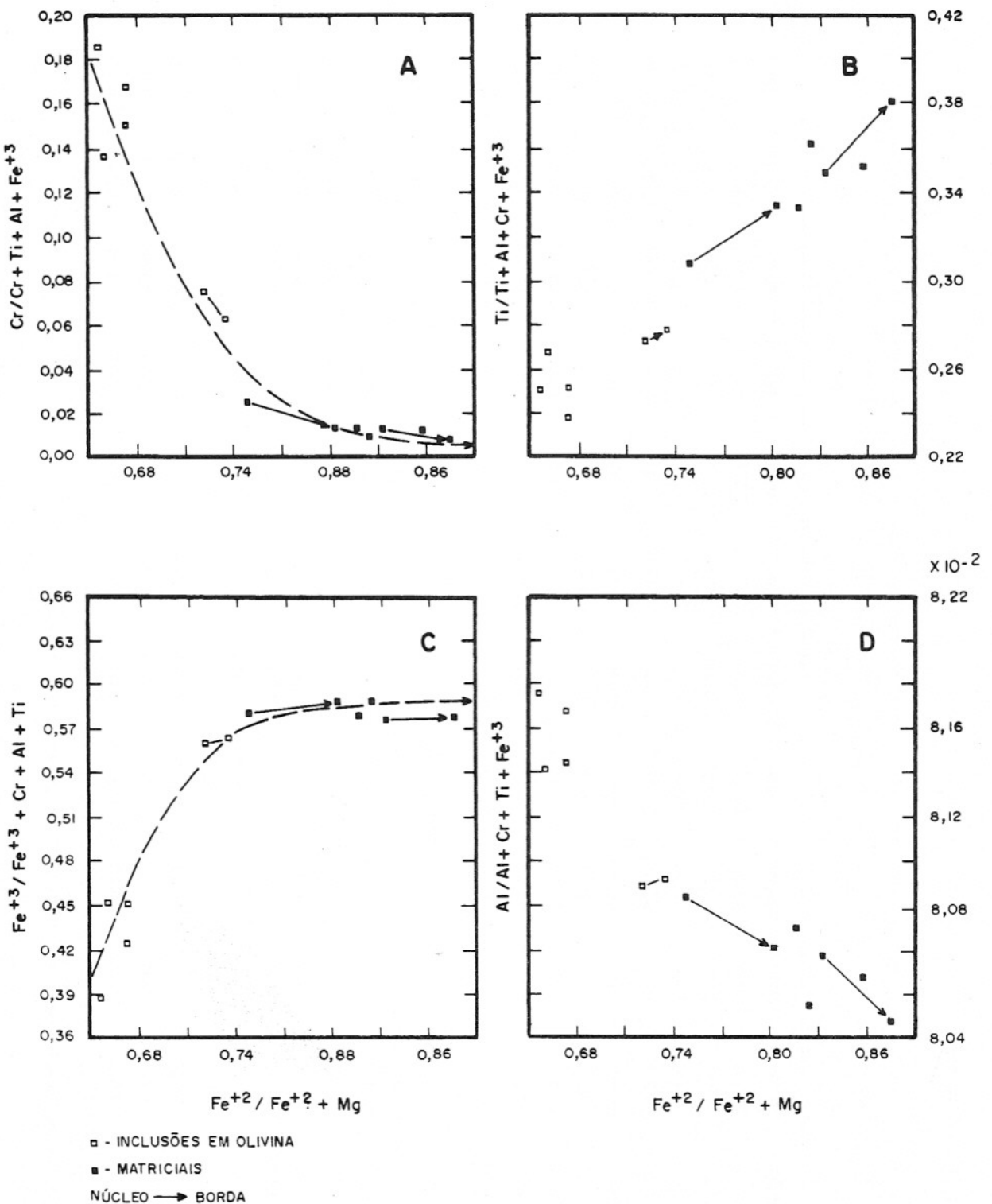


Figura 1 – Variações químicas dos espinélios inclusos em olivinas e matriciais.

no estádio de cristalização anterior e/ou contemporâneo à cristalização da olivina;

- cromita ( $\text{FeCr}_2\text{O}_4$ ) e/ou picrocromita ( $\text{MgCr}_2\text{O}_4$ ) decrescem, fortemente, no

estádio de cristalização anterior e/ou concomitante à cristalização da olivina;

- ulvoespinélio ( $\text{Fe}_2\text{TiO}_4$ ) cresce, de forma quase constante, durante toda a cristalização dos espinélios, inclusos ou

- externos à olivina;
4. espinélio ( $MgAl_2O_4$ ) decresce, de forma quase constante, durante a cristalização dos espinélios, inclusos ou externos à olivina;
  5. as zonações núcleo/borda observadas são paralelas aos “trends” discutidos (Fig. 1);
  6. o “trend” geral é, portanto, de aumento de magnetita (mais importante nos inclusos) e ulvoespinélio com a evolução da cristalização.

#### Olivina

As composições químicas das olivinas, as quais só ocorrem como fenocristais, estão representadas na Tabela 2 e suas variações químicas mostradas na Figura 2. São cristais zonados com núcleos entre  $Fo_{84}$  e  $Fo_{85}$  e bordas entre  $Fo_{82}$  e  $Fo_{83}$  (Tabela 2). As variações núcleo/borda de Mn, Ca e Ni estão mostradas na Figura 2. Mn e Ca crescem em direção às bordas enquanto Ni decresce. Este é o comportamento esperado da razão  $Mg/(Mg + Fe)$ , Mn, Ca e Ni em olivinas formadas durante a cristalização

fracionada.

#### Melilita

Os resultados analíticos das melilitas estão listados na Tabela 3. Correspondem a uma solução sólida com uma composição média  $Ak_{59} - Fe-Ak_{15} - Na-Mel_{26}$ . Os cristais mostram-se zonados sendo as bordas mais ricas em Na e mais pobres em K (Tabela 3).

#### Piroxênio

As composições dos piroxênios encontram-se na Tabela 4 e algumas de suas variações químicas são mostradas na Figura 3. São diopsídios que se caracterizam por apresentar deficiência em Si + Al no sítio tetraédrico, o que determina a entrada de  $Fe^{3+}$  nesta posição (Robinson, 1980).  $Fe^{3+}$  é então alocado até eliminar a deficiência (Tabela 4). Os teores de  $TiO_2$  variam entre 4 e 5% (Tabela 4). A entrada de Ti no sítio octaédrico é, pelo menos em parte, compensada pela entrada de elementos trivalentes no sítio tetraédrico. A reta traçada

Tabela 2 – Composições das olivinas.

	1 N	1 B	2 N	2 B	3
$SiO_2$	39,68	39,71	39,81	39,65	39,61
FeO	14,91	16,12	14,75	15,90	14,10
MnO	0,19	0,32	0,23	0,37	0,27
MgO	43,85	43,51	44,20	42,53	44,54
CaO	0,43	0,62	0,39	0,94	0,31
NiO	0,16	0,13	0,11	0,07	0,34
Total	99,22	100,41	99,50	99,47	99,16

#### Normalização a 4 oxigênios

Si	1,005	1,000	1,004	1,008	1,001
Fe	0,316	0,340	0,311	0,338	0,298
Mn	0,004	0,007	0,005	0,008	0,006
Mg	1,655	1,634	1,662	1,612	1,678
Ca	0,012	0,017	0,010	0,026	0,008
Ni	0,003	0,003	0,002	0,002	0,007
Total	2,995	3,000	2,996	2,992	2,999
Fo	84,00	82,80	84,20	82,70	84,90

N - núcleo; B - borda

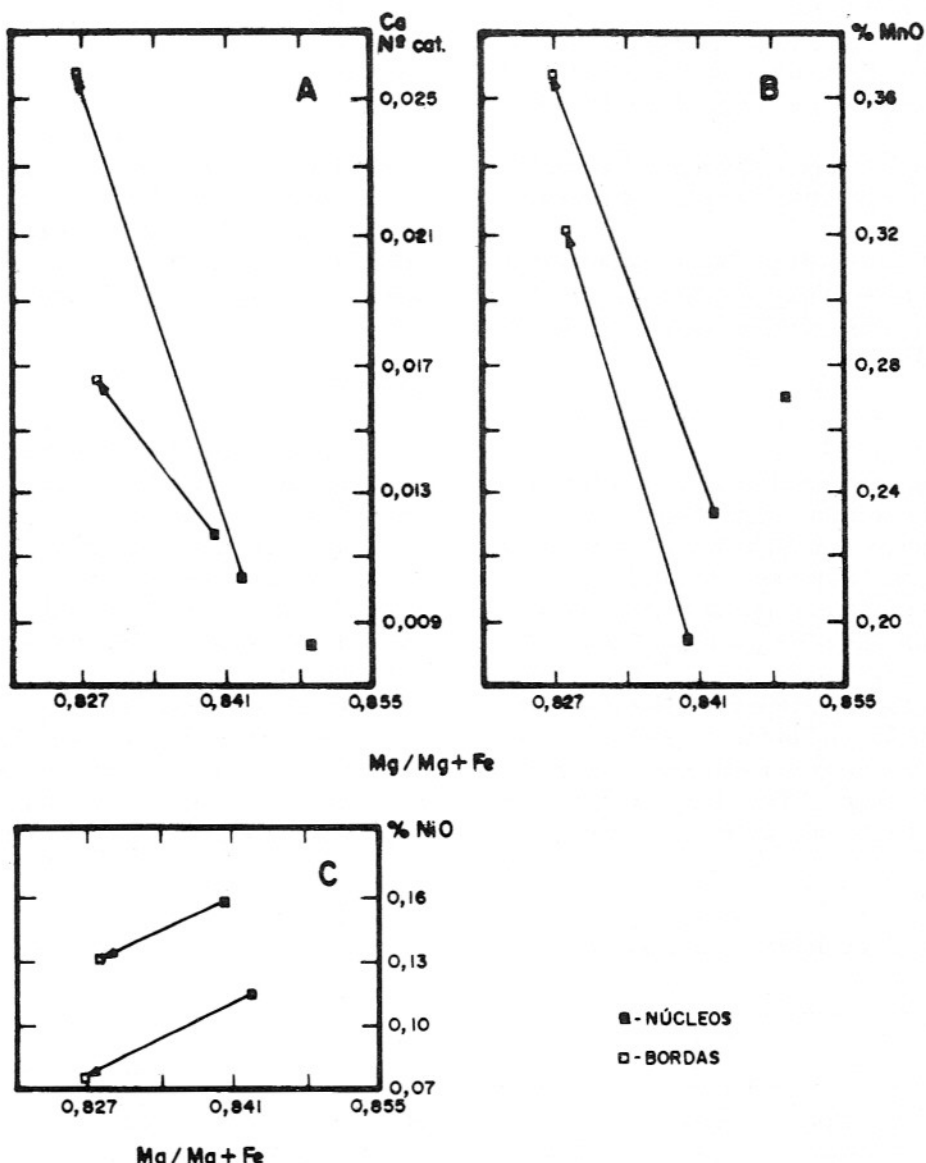
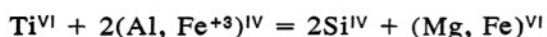


Figura 2 – Padrão de zonação das olivinas.

na Figura 3A corresponde à seguinte reação:



Os dados disponíveis, ainda que em número reduzido, são consistentes com uma distribuição próxima à reta.

A quantidade de Na presente nestes piroxênios é superior ao  $\text{Fe}^{3+}$  octaédrico (Tabela 4), sugerindo que, além de aegirina ( $\text{NaFe}^{3+}\text{Si}_2\text{O}_6$ ), deve estar também presente o membro final  $\text{NaTi}_{0,5}\text{R}^{2+}_{0,5}\text{Si}_2\text{O}_6$ .

O número de cátions de Ti cresce com a razão  $\text{Fe}^{2+}/(\text{Fe}^{2+} + \text{Mg})$  (Fig. 3B), indicando que com a evolução da cristalização

a tendência desse piroxênio é de tornar-se mais complexo, aumentando o teor de vários outros membros finais na solução sólida, fugindo do ápice do diopsídio.

#### Leucita

A leucita forma cristais lúpidos e desprovidos de inclusões. Suas composições estão contidas na Tabela 5. Exceto para os elementos essenciais, os maiores teores encontrados foram:  $\text{Fe}_2\text{O}_3 = 0,73\%$ ,  $\text{Na}_2\text{O} = 0,35\%$  e  $\text{BaO} = 0,26\%$  (Tabela 5). São valores relativamente baixos que indicam leucitas quase estequiométricas.

Tabela 3 – Composições nas melilitas.

	1 N	1 B	2 N	2 B	3 N	3 B
SiO <sub>2</sub>	42,96	42,73	42,26	43,28	43,34	43,12
TiO <sub>2</sub>	0,13	0,15	0,33	0,20	0,12	0,04
Al <sub>2</sub> O <sub>3</sub>	4,50	4,60	5,08	4,60	4,50	4,52
FeO	3,67	3,85	4,02	3,69	3,88	3,82
MnO	0,07	0,19	0,08	0,02	0,00	0,10
MgO	8,38	8,30	7,85	8,10	8,30	8,18
CaO	36,44	35,80	35,06	35,97	36,17	36,08
Na <sub>2</sub> O	2,69	2,78	2,73	2,96	2,45	2,75
K <sub>2</sub> O	0,21	0,18	0,75	0,18	0,18	0,12
Total	99,05	98,58	98,16	99,01	98,94	98,73
Normalização a 14 oxigênios						
Si	3,971	3,969	3,949	3,994	4,000	3,994
Ti	0,009	0,010	0,023	0,014	0,008	0,002
Al	0,490	0,503	0,559	0,501	0,489	0,493
Mg	1,154	1,149	1,094	1,115	1,142	1,130
Ca	3,608	3,562	3,510	3,557	3,577	3,581
Mn	0,005	0,015	0,006	0,001	0,000	0,008
Fe	0,284	0,299	0,314	0,285	0,300	0,296
Na	0,482	0,501	0,494	0,530	0,438	0,494
K	0,024	0,022	0,090	0,021	0,022	0,014
Total	10,028	10,030	10,040	10,018	9,976	10,012

N - núcleo; B - borda

### Nefelina

A nefelina ocorre em cristais isolados, soldando grãos de leucita. Os resultados analíticos das nefelinas encontram-se na Tabela 5. A principal característica desse mineral é o elevado teor de K<sub>2</sub>O (9,29 a 9,97%). Estes teores correspondem em média a 30% do membro final de kalsilita; uma composição que indica cristalização magmática de alta temperatura (Deer et al., 1967). São também notórios os altos teores de Fe<sub>2</sub>O<sub>3</sub> encontrados (1,84 a 2,62%) e os excessos de Si estrutural (8,225 a 8,642 a.p.u.f. para 32 oxigênios) (Tabela 5).

### Flogopita

Flogopita ocorre como uma fase de cristalização intersticial, sendo produto de reações de fluidos tardios com cristais de

olivina. As composições das flogopitas são encontradas na Tabela 6 e representadas na Figura 4. São característicos dessas micas, os baixos teores em Al<sup>IV</sup>, requerendo o preenchimento do sítio tetraédrico com Fe<sup>3+</sup>, indicando a presença do membro final tetraferriflogopita (Tabela 6). O procedimento para o cálculo do Fe<sup>+3</sup> foi realizado de acordo com Araújo & Gaspar (1993), exceto que a última normalização realizada foi para 22 oxigênios e não 24 (O, OH, F). Preferiu-se este procedimento, tendo em vista que os teores de OH calculados ficam, assim, fora das normalizações, sendo considerados somente os valores calculados na última normalização, os quais são então apresentados na Tabela 6.

Tetraferriflogopita compõe entre 25,7 e 46,5% das flogopitas em questão (Fig. 4A), uma ampla variação, considerando-se os poucos resultados apresentados. Este ti-

**Tabela 4 – Composições dos piroxênios.**

	1 A	1 B	2 A	2 B	3
SiO <sub>2</sub>	49,62	48,70	46,97	47,16	46,58
TiO <sub>2</sub>	4,12	4,32	5,05	4,63	4,72
Al <sub>2</sub> O <sub>3</sub>	1,81	1,97	3,10	3,14	3,32
Cr <sub>2</sub> O <sub>3</sub>	0,07	0,00	0,06	0,00	0,01
Fe <sub>2</sub> O <sub>3</sub> <sup>(1)</sup>	3,46	4,30	2,06	2,08	2,08
FeO	4,76	3,80	6,50	6,89	6,03
MnO	0,13	0,17	0,09	0,12	0,18
MgO	12,28	12,23	11,45	11,61	11,96
CaO	22,48	22,38	22,30	22,59	22,39
Na <sub>2</sub> O	1,61	1,66	1,45	1,37	1,28
Total	100,35	99,53	99,03	99,59	98,55
Normalização a 6 oxigénios					
Si	1,853	1,833	1,801	1,800	1,792
Al	0,080	0,088	0,140	0,141	0,151
Fe <sup>+3</sup> <sup>(2)</sup>	0,067	0,079	0,060	0,058	0,057
Sítio T	2,00	2,00	2,00	2,00	2,00
Al	0,000	0,000	0,000	0,000	0,000
Ti	0,116	0,122	0,145	0,133	0,137
Cr	0,002	0,000	0,002	0,000	0,000
Fe <sup>+3</sup>	0,030	0,043	0,000	0,000	0,000
Fe <sup>+2</sup>	0,149	0,120	0,208	0,222	0,194
Mn	0,004	0,005	0,003	0,004	0,006
Mg	0,684	0,686	0,654	0,661	0,686
Ca	0,899	0,903	0,916	0,924	0,923
Na	0,116	0,121	0,108	0,101	0,095
M1-M2	2,00	2,00	2,04	2,05	2,04

1 - calculado pela estequiometria; 2 - Fe<sup>+3(IV)</sup> = 2 - Si - Al; A e B - análises do mesmo cristal

po de variação é comum em flogopitas que são produtos reacionais (Araújo & Gaspar, 1993).

Merecem menção, os teores de TiO<sub>2</sub> (3,22 a 4,01%) e os teores de BaO (0,49 a 1,15%) (Tabela 6). A razão Al/(Al + Fe<sup>+3</sup>) aumenta com a razão Mg/(Mg + Fe<sup>+2</sup>) (Fig. 4A), indicando um crescimento da porcentagem de tetraferriflogopita com o abaixamento de Mg/(Mg + Fe<sup>+2</sup>). Este comportamento pode ser também deduzido da relação entre Al<sup>IV</sup> e Mg (Fig. 4B), variáveis que independem da forma como se calcula Fe<sup>+2</sup>/Fe<sup>+3</sup>. Com o decréscimo de Mg/(Mg +

Fe<sup>+2</sup>), diminuem também os teores de Ba e Na (Fig. 4C e 4D). Considerando o decréscimo de Mg/(Mg + Fe<sup>+2</sup>) como representativo do “trend” da cristalização, apesar da natureza reacional destas micas, pode-se concluir que a evolução se caracteriza por um aumento do componente tetraferriflogopita, às expensas dos outros membros finais.

#### *Natrolita*

A natrolita ocorre como diminutos grãos anédricos, detectados através do sis-

A natrolita ocorre como diminutos grãos anédricos, detectados através do sis-

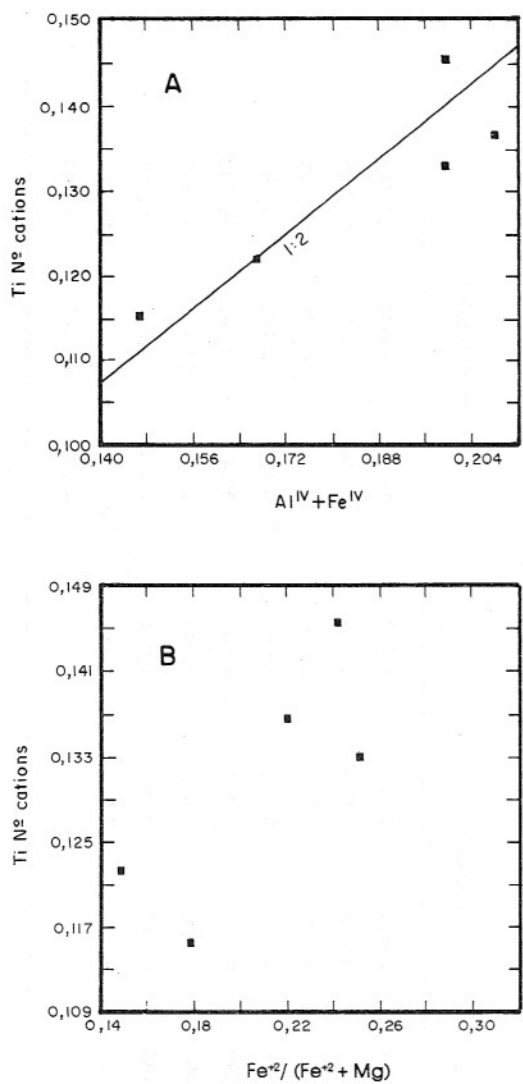


Figura 3 – Relação entre  $Ti / (Al^{IV} + Fe^{IV})$  e  $Fe^{+2}/(Fe^{+2} + Mg)$  em piroxênios.

tema EDS na microssonda eletrônica. As análises disponíveis (WDS) estão na Tabela 5, observando-se que, devido à volatilização do Na e da água, provocada pelo feixe eletrônico, a totalização das análises é elevada. A presença da natrolita é muito importante, pois evidencia a ocorrência de processos ulteriores de sodificação de minerais felsicos, formados anteriormente (leucita e nefelina), como ocorre em outras rochas kamafugíticas de Goiás (Danni et al., 1990).

#### CARACTERÍSTICAS QUÍMICAS DA ROCHA

As características químicas do katungito, em termos de seus elementos maiores e em traços, foram inicialmente definidas por Danni (1985). Os resultados analíticos

de rocha total são apresentados na Tabela 7. Resumidamente, trata-se de uma rocha ultrabásica alcalina fortemente insaturada, contendo altas concentrações em  $TiO_2$ ,  $MgO$ ,  $FeO_t$ ,  $CaO$  e  $K_2O$ , e baixos valores em  $Al_2O_3$  (Tabela 7), apresentando razões  $K_2O/Na_2O$  de 1,3 a 2,1.

O padrão de distribuição dos elementos com teores decrescentes de incompatibilidade (Fig. 5A), mostra um acentuado enriquecimento (acima de 200X os valores condriticos) para os elementos litófilos, sendo notáveis as taxas de fracionamento de Nb e La.

O padrão de distribuição dos ETR, retíneo e fortemente inclinado (Fig. 5B), revela acentuado enriquecimento nos ETR leves, apresentando  $(La/Lu)_n = 39$ , ou seja, uma razão muito alta. Tal configuração e tipo de fracionamento dos ETR são encontrados também em outras rochas alcalinas potássicas e ultrapotássicas, como por exemplo em kimberlitos e em lamproitos. Este tipo de padrão é próprio de líquidos gerados por baixa taxa de fusão de fonte mantélica metassomatizada (com flogopita e/ou K-anfibólio), como bem parecem indicar as razões muito altas para  $(La/Sr)_n$  e baixas para  $Zr/Nb$  e  $Y/Nb$ , do katungito de Amorinópolis (Tabela 7).

Em relação à fase fluida, o katungito de Amorinópolis não apresenta carbonato primário, contrariamente ao que ocorre nos kamafugitos em geral. (Barton, 1979; Foley, 1991; Lloyd et al., 1990). A ausência de carbonatos nesta rocha pode derivar da perda por desgasificação de  $CO_2$  do magma, e portanto não representar uma característica primitiva do líquido.

Com relação aos elementos maiores, particularmente Ca, Mg, Fe e Ti, o katungito de Amorinópolis segue os padrões composticionais estabelecidos para os kamafugitos de outras partes do mundo (Pouclet, 1980; Barton, 1979; Lloyd et al., 1990). Em termos dos elementos maiores, é importante ressaltar a uniformidade composicional desta rocha, em que  $CaO + MgO = 28\%$ ,  $TiO_2 = 6\%$ ,  $Fe_2O_3 = 14\%$ ,  $Al_2O_3 = 6\%$  e  $SiO_2 < 40\%$ .

A constância destas características químicas, como é verificado para a maioria das rochas vulcânicas potássicas-ultrapotássicas da região de Rio Verde-Iporá e Triângulo Mineiro (Moraes et al., 1987; Sgarbi & Valença, 1991; Moraes, 1988; Danni et al., 1990), constitui um traço muito marcante da consanguinidade magmática.

Tabela 5 – Composições dos feldspatóides e natrolita.

	Nefelina			Leucita				Natrolita		
	1	2	3	4	5	6	7	8	9	10
SiO <sub>2</sub>	41,85	43,33	42,63	55,37	55,22	55,25	55,17	47,38	47,92	47,07
Al <sub>2</sub> O <sub>3</sub>	32,07	31,32	31,33	23,08	22,93	23,02	23,08	28,42	29,23	28,00
Fe <sub>2</sub> O <sub>3</sub> <sup>(1)</sup>	1,97	1,84	2,62	0,73	0,60	0,66	0,72	0,47	0,43	0,45
CaO	0,10	0,16	0,10	0,00	0,03	0,06	0,00	0,29	0,39	0,92
BaO	0,08	0,04	0,04	0,00	0,00	0,26	0,26	0,21	0,00	0,00
Na <sub>2</sub> O	14,15	13,89	14,69	0,13	0,14	0,35	0,13	14,36	13,70	12,98
K <sub>2</sub> O	9,97	9,53	9,29	20,80	20,67	20,34	21,02	0,16	0,18	0,15
H <sub>2</sub> O <sup>2</sup>	-	-	-	-	-	-	-	10,38	10,44	10,44
Total	100,19	100,11	100,70	100,10	99,59	99,93	100,38	101,68	102,29	100,01
Normalizações										
	24 oxigênios			6 oxigênios				80 oxigênios		
Si	8,225	8,462	8,324	2,004	2,008	2,004	1,999	23,696	23,692	23,863
Al	7,428	7,210	7,209	0,984	0,983	0,984	0,986	16,756	17,031	16,730
Fe	0,292	0,271	0,385	0,020	0,016	0,018	0,020	0,175	0,159	0,170
Ca	0,020	0,034	0,021	0,000	0,001	0,002	0,000	0,153	0,207	0,499
Ba	0,006	0,003	0,003	0,000	0,000	0,004	0,004	0,042	0,000	0,000
Na	5,390	5,261	5,561	0,009	0,010	0,025	0,009	13,930	13,130	12,754
K	2,499	2,373	2,313	0,960	0,959	0,941	0,972	0,105	0,113	0,094
Total	23,86	23,62	23,82	3,98	3,98	3,98	3,99	54,86	54,33	54,11
H	-	-	-	-	-	-	-	4,000	4,000	4,000

1 - Fe total como Fe<sup>3+</sup>; 2 - calculada pela estequiometria

Tabela 6 – Composição das flogopitas.

	1	2	3	4
SiO <sub>2</sub>	42,25	41,26	40,32	40,44
TiO <sub>2</sub>	3,43	3,91	4,01	3,22
Al <sub>2</sub> O <sub>3</sub>	7,90	7,54	5,85	5,92
Cr <sub>2</sub> O <sub>3</sub>	0,00	0,00	0,04	0,02
Fe <sub>2</sub> O <sub>3</sub> <sup>(1)</sup>	5,74	6,64	8,97	8,88
FeO	3,89	5,27	7,99	7,72
MnO	0,08	0,06	0,12	0,09
MgO	20,06	19,21	17,66	18,55
BaO	0,86	1,15	0,61	0,49
CaO	0,21	0,16	0,14	0,11
Na <sub>2</sub> O	0,91	0,69	0,46	0,48
K <sub>2</sub> O	9,21	9,38	9,39	9,23
H <sub>2</sub> O <sup>(2)</sup>	4,16	4,10	4,03	4,04
F	0,01	0,00	0,00	0,01
O = F	0,00	0,00	0,00	0,00
Total	98,71	99,38	99,60	99,21
Normalização a 22 oxigênios <sup>3</sup>				
Si	6,170	6,067	6,029	6,048
Al	1,360	1,308	1,032	1,044
Fe <sup>+3</sup> <sup>(1)</sup>	0,470	0,625	0,940	0,907
Sítio T	8,00	8,00	8,00	8,00
Al	0,000	0,000	0,000	0,000
Ti	0,377	0,432	0,451	0,363
Cr	0,000	0,000	0,004	0,002
Fe <sup>+3</sup> <sup>(1)</sup>	0,161	0,110	0,069	0,092
Fe <sup>+2</sup>	0,475	0,649	1,000	0,966
Mn <sup>+2</sup>	0,010	0,007	0,016	0,012
Mg	4,367	4,212	3,937	4,136
Sítio O	5,39	5,41	5,48	5,57
Ba	0,049	0,066	0,036	0,029
Ca	0,032	0,025	0,022	0,017
Na	0,257	0,197	0,134	0,138
K	1,717	1,760	1,792	1,762
Sítio A	2,06	2,05	1,98	1,95
OH	3,997	3,998	4,000	3,997
F	0,003	0,002	0,000	0,003

1 e 3 - ver texto para o procedimento do cálculo de Fe<sup>+3</sup> e normalização; 2 - calculada pela estequiometria

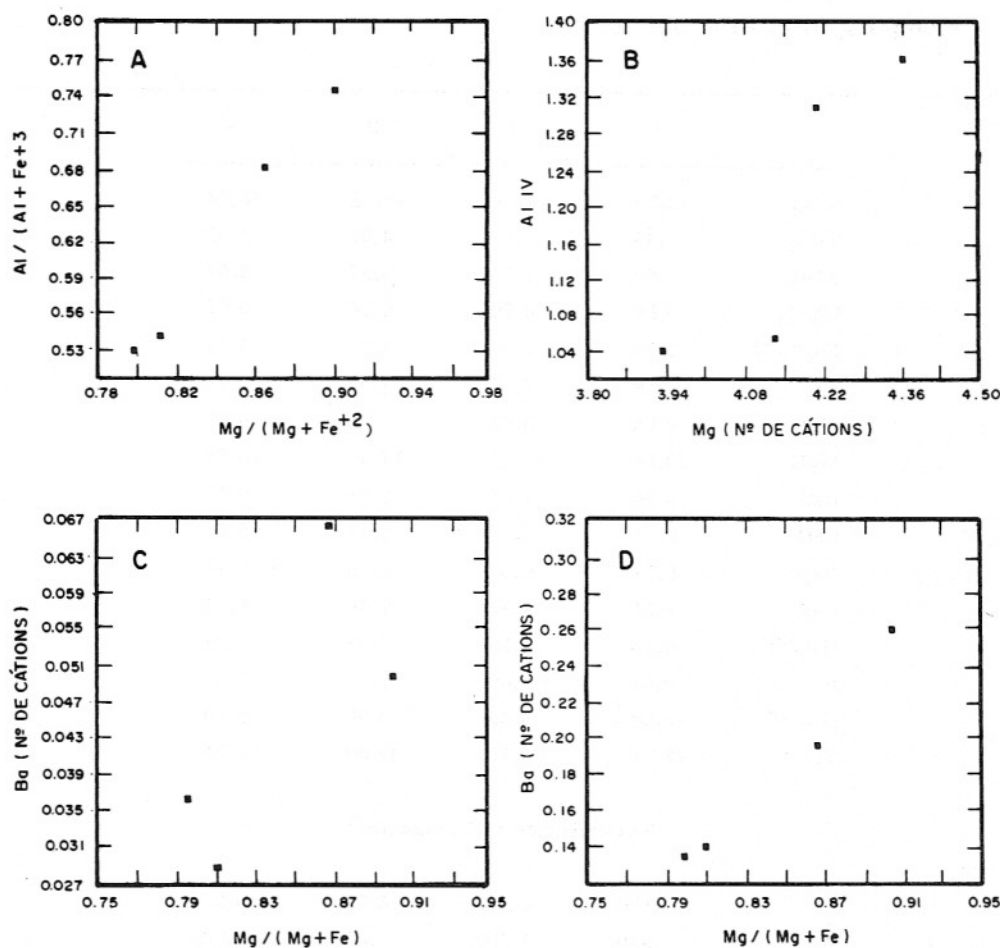


Figura 4 – Principais variações encontradas nas tetraferriflogopitas.

Tabela 7 – Composição química do katungito de Amorinópolis.

	1	2	1*	2*	1*
$\text{SiO}_2$	33,71	34,39	Ni	287	450
$\text{TiO}_2$	6,31	5,96	Cr	506	730
$\text{Al}_2\text{O}_3$	6,50	6,42	Co	218	88
$\text{Fe}_2\text{O}_3$	5,62	5,56	V	445	360
FeO	9,81	9,47	Zr	580	620
MnO	0,20	0,22	Y	31	48
MgO	15,14	15,10	Nb	-	172
CaO	13,06	12,80	Sr	1597	1040
$\text{Na}_2\text{O}$	2,27	2,26	Ba	1223	1300
$\text{K}_2\text{O}$	4,17	3,50	Rb	91	89
$\text{P}_2\text{O}_5$	1,35	1,14			Yb
PF	2,11	2,24			Lu
Total	100,26	99,06			0,3

\* - valores em ppm

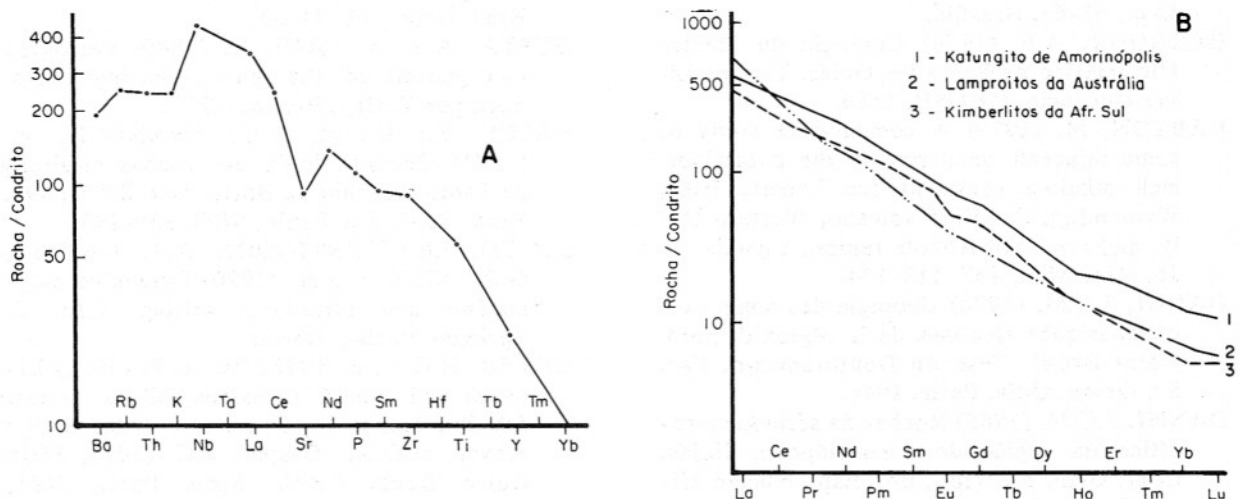


Figura 5 - "Spider diagram" (A) e padrão de terras raras (B).

tica entre elas e por certo indica uma origem comum, com o prevalecimento de mesmas condições (P, T, tipo de fonte, etc.) da fusão mantélica.

Os resultados experimentais de fusões de peridotitos, em presença de fase fluida, a pressões mantélicas, indicam que a natureza e quantidade dos primeiros líquidos fundidos dependem, entre outros fatores, do tipo de fluido presente e do seu estado de oxidação (Foley, 1985 e 1991). Ambientes mantélicos ricos em  $\text{CO}_2$  propiciam a geração de líquidos nefeliníticos-carbonatíticos e, a mais altas pressões, de líquidos kimberlíticos. A geração de líquidos ultrapotássicos estaria condicionada, basicamente, à presença de fases mantélicas ricas em K na rocha fonte. No caso dos kamafugitos, por serem estas rochas characteristicamente ricas em Ca e Ti, e por apresentarem  $\text{CO}_2$  como a fase volátil mais importante, a fonte é considerada como rica em clinopiroxênio e em minerais de Ti (perovskita, titanatos), além de flogopita e K-anfibólio.

Em razão das características químicas apontadas, infere-se que granada não foi um mineral importante para a geração dos líquidos kamafugíticos (baixo Al, Y e ETR pesados), seja porque permaneceu no resíduo da fusão ou porque inexistia na fonte.

Por outro lado, por apresentarem altas concentrações em Ca, Ti, Nb, Ba, K e La, supõe-se que tais líquidos derivam da fusão preferencial de clinopiroxênios, olivina, flogopita e carbonatos. Os valores excepcionalmente altos em  $\text{TiO}_2$  das rochas kamafugíticas do Sul de Goiás, como também acontece para as rochas do Triângulo Mineiro, constitui uma feição composicional que, certamente, reflete uma característica muito particular da fonte mantélica existente sob a parte setentrional da Bacia do Paraná no Cretáceo Superior.

## CONCLUSÕES

As características químicas dos minerais mostram uma evolução compatível com progressivo aumento em  $\text{Fe}^{+2}/(\text{Fe}^{+2} + \text{Mg})$ , seguido por forte decaimento em Ca, K e Al no líquido. Segue-se uma maior participação de Ti e  $\text{Fe}^{+3}$  nos minerais formados, refletindo aumento de oxidação nos líquidos mais residuais, ao mesmo tempo em que ocorria progressivo enriquecimento em  $\text{H}_2\text{O}$ , conduzindo à formação de flogopita. As relações apresentadas entre os elementos traços como exemplificado pelas razões  $(\text{La}/\text{Sm})_n$ ,  $\text{Y}/\text{Nb}$  e  $\text{Zr}/\text{Nb}$ , indicam uma origem a partir de fonte mantélica enriquecida.

## REFERÊNCIAS BIBLIOGRÁFICAS

ARAÚJO, D.P. & GASPAR, J.C. (1993)  $\text{Fe}^{+3}$  no sítio tetraédrico de flogopita das rochas

do Complexo Carbonatítico de Catalão I, Brasil. IV Congr. Bras. Geoquim., Vol. Res.

- Exp., 62-63, Brasília.
- BARBOUR, A.P. (1976) Geologia do Maciço Ultramáfico de Santa Fé, Goiás. Tese de Livre Docência, IG/USP, 138p.
- BARTON, M. (1979) A comparative study of some minerals occurring in the potassium-rich alkaline rocks of the Leucite Hills, Wyoming, the Vico volcano, Western Italy, and the Toro Ankole region, Uganda. N. Jb. Min. Abh., **137**: 113-134.
- DANNI, J.C.M. (1974) Geologie des complexes ultrabasiques alcalines de la région d'Iporá, Goiás-Brasil. Tese de Doutoramento, Fac. Sc. Orsay, Univ. Paris, 104p.
- DANNI, J.C.M. (1985) Rochas da série kamafútica na região de Amorinópolis, Goiás. Cont. Geol. e Petrol., Bol. Esp., Núcleo Minas Gerais, SBG, 5-13.
- DANNI, J.C.M.; SILVA, A.J.G.; CERQUEIRA, M.R. (1990) Petrografia e petroquímica das rochas alcalinas cretácicas da Serra do Caiapó, SW de Goiás. Anais 36º Congr. Bras. Geol., SBG, **4**: 1872-1882.
- DANNI, J.C.M.; BOTELHO, N.F.; GROSSI SAD, J.H. (1991) Bulk and mineral chemistry of the olivine leucite from Juana Vaz, Sacramento, MG, Brazil. 5th Int. Kimb. Conf. Ext., Abstr., CPRM Spec. Publ., 2/91, 60-62, Brasília.
- DANNI, J.C.M.; GASPAR, J.C.; GONZAGA, G.M. (1991) The Fazenda Alagoinha intrusion, Três Ranchos, Goiás. 5th Int. Kimb. Conf., in: Leonards, O.H.; Meyer, H.O.A.; Gaspar, J.C. (eds.), Field Guide Book. CPRM Spec. Publ., 3/91, 31-35, Brasília.
- DEER, W.A.; HOWIE, R.A.; ZUSMANN, J. (1967) An introduction to the rock forming minerals. 2 ed., Longman-Green & Co. Ltd, London.
- FOLEY, S.F. (1985) The oxidation state of lamproitic magmas. Ischerm. Min. Petr., **34**: 217-238.
- FOLEY, S.F. (1991) The origin of kimberlite and lamproite in veined lithospheric mantle. 5th Int. Kimb. Conf., Ext. Abstr., CPRM Spec. Publ., 2/91, 109-111, Brasília.
- FOLEY, S.F.; VENTURELLI, G.S.; GREEN, D.H.; TOSCANI, L. (1987) The ultrapotassic rocks: characteristics, classification and constraints for petrogenetic models. Earth Sci. Rev., **24**: 81-134.
- GASPAR, J.C. & DANNI, J.C.M. (1981) Aspectos petrográficos e vulcanológicos da província alcalina-carbonatítica de Santo Antonio da Barra, Sudoeste de Goiás. Rev. Bras. Geoc., **11**: 74-83.
- GUPTA, A.K. & YAGI, K. (1980) Petrology and genesis of the leucite-bearing rocks. Springer Verlag, Berlin, p.252.
- HASUI, Y.; DYER, R.C.; IWANUCH, W. (1971) Geocronologia das rochas alcalinas de Santo Antonio da Barra, GO. 25º Congr. Bras. Geol., São Paulo, SBG, 139-142.
- LLOYD, F.E.; HUNTINGDON, A.T.; DAVIES, G.R.; NIXON, P.H. (1990) Extensive magmatism and structural setting. Cap. 2, Springer Verlag, Berlin.
- MEYER, H.O.A. & SVISERO, D.P. (1991) Limeira and Indaiá intrusions, Minas Gerais. 5th Int. Kimb. Conf., in: Leonards, O.H.; Meyer, H.O.A.; Gaspar, J.C. (eds.), Field Guide Book, CPRM Spec. Publ., 3/91, 49-55, Brasília.
- MEYER, H.O.A.; GARWOOD, B.L.; SVISERO, D.P. (1991) The Pântano intrusion. 5th Int. Kimb. Conf., in: Leonards, O.H.; Meyer, H.O.A.; Gaspar, J.C. (eds.), Field Guide Book, CPRM Spec. Publ., 3/91, 59-63, Brasília.
- MORAES, L.C. (1988) Aspectos petrológicos do magmatismo alcalino cretáceo de Santo Antônio da Barra, GO. Rev. Bras. Geoc., **18**(1): 38-42.
- MORAES, L.C.; SEER, H.J.; KATTAR, S.S. (1987) Aspectos petroquímicos das rochas vulcânicas alcalinas cretácicas da porção meridional da Bacia Sanfranciscana, MG. I Congr. Bras. Geoquím., Vol. Res. Exp., 315-326, Porto Alegre.
- POUCLET, A. (1980) Contribution à la systematic des laves alcalines, les laves du rift de l'Afrique Centrale (Zaire-Uganda). Bull. Volcanol., **43**: 527-540.
- ROBINSON, P. (1980) The composition space of terrestrial pyroxenes - internal and external limits. In: Prewitt, C.T. (ed.), Pyroxenes. Rev. Min., v. 7. Min. Soc. Am., Washington, 419-494.
- SGARBI, P.B.A. & VALENÇA, J.G. (1991) Petrography and general chemical features of potassic mafic to ultramafic alkaline volcanic rocks of Mata da Corda Formation, Araxá, Minas Gerais, Brazil. 5th Int. Kimb. Conf., Ext. Abstr., CPRM Spec. Publ., 2/91, 359-360, Brasília.
- WAGNER, C.; VELDE, D.; MOKHTARI, A. (1987) Sector-zoned phlogopites in igneous rocks. Contrib. Mineral. Petrol., **96**: 186-191.